



# Resolución Viceministerial

**Nro. 009-2019-VMPCIC-MC**

Lima, **21 ENE. 2019**

**VISTA**, la solicitud presentada por el licenciado Rafael Eduardo Valdez Velasquez-López, sobre autorización para exportación de muestras arqueológicas con fines científicos; y,

## **CONSIDERANDO:**

Que, de conformidad con el artículo 59 del Reglamento de la Ley N° 28296, Ley General de Patrimonio Cultural de la Nación, aprobado por Decreto Supremo N° 011-2006-ED, la exportación de muestras arqueológicas, fragmentos o restos es autorizada por el Instituto Nacional de Cultura mediante resolución de su máxima autoridad;

Que, mediante la Ley N° 29565 se creó el Ministerio de Cultura como organismo del Poder Ejecutivo con personería jurídica de derecho público. Asimismo, a través del Decreto Supremo N° 001-2010-MC se aprobó la fusión, entre otros, del Instituto Nacional de Cultura en el citado Ministerio, por lo que toda referencia normativa al Instituto Nacional de Cultura se debe entender como Ministerio de Cultura;

Que, los artículos 91 y 92 del Reglamento de Intervenciones Arqueológicas aprobado por Decreto Supremo N° 003-2014-MC, regulan los requisitos y procedimientos para la exportación de muestras arqueológicas con fines científicos;

Que, el citado artículo 92 precisa que en el caso de un análisis destructivo de la muestra, en la resolución de autorización se retirará su condición de bien integrante del Patrimonio Cultural de la Nación;

Que, mediante Resolución Directoral Nacional N° 1878/INC de fecha 27 de agosto de 2010, se aprobó el "Programa Integral de Intervención Arqueológica en el Santuario Histórico Bosque de Pómac (PIAP) Temporada 2010", bajo la modalidad de programa de investigación arqueológica a realizarse en el distrito de Pitipo, provincia de Ferreñafe, departamento de Lambayeque;

Que, por Resolución Directoral N° 251-2014-DGPA-VMPCIC/MC de fecha 03 de junio de 2014, se aprobó la ejecución del Proyecto de Investigación Arqueológica "Proyecto Arqueológico Sicán 2014", bajo la modalidad de proyecto de investigación arqueológica con excavaciones a realizarse en los sitios arqueológicos Huaca Loro y Huaca Lercanlech en el Santuario Histórico Bosque de Pómac, ubicado en el Valle medio del río La Leche, distrito de Pitipo, provincia de Ferreñafe, departamento de Lambayeque;



Que, con Resolución Directoral N° 302-2018/DGPA/VMPCIC/MC de fecha 16 de julio de 2018, se autorizó la ejecución del "Proyecto Arqueológico Sicán 2018", en la modalidad de proyecto de investigación arqueológica con excavaciones, ubicado en el distrito Pitipo, provincia de Ferreñafe, departamento de Lambayeque;

Que, por medio del documento de visto, el licenciado Rafael Eduardo Valdez Velásquez-López, solicitó la exportación de ciento cincuenta y tres (153) muestras arqueológicas con fines científicos de carácter destructivo, procedentes del "Programa Integral de Intervención Arqueológica en el Santuario Histórico Bosque de Pómac (PIAP) Temporada 2010", "Proyecto Arqueológico Sicán 2014" y "Proyecto Arqueológico Sicán 2018", para que sean sometidas a análisis instrumental de activación con neutrones (INAA) en el Laboratorio de Arqueometría del centro de Investigación del reactor Nuclear de la Universidad de Missouri (MURR University of Missouri Research Reactor Center) en la ciudad de Columbia, estado de Missouri, Estados Unidos de América, análisis por los métodos de microsonda electrónica de barrido (EPMA) y fluorescencia de rayos X (XRF) en el Laboratorio de Arqueometalurgia, del Instituto de Arqueología de la Universidad de Londres. Institute of Archaeology, en la ciudad de Londres, Inglaterra, así como análisis de Datación radio carbónica por el método de espectrometría de masas con acelerador (AMS) en el Laboratorio Direct AMS, en la ciudad de Bothell, estado de Washington, Estados Unidos de América. Muestras que serán trasladadas por el señor Izumi Shimada, de nacionalidad japonesa, identificado con Pasaporte TZ 1018903;

Que, a través del Memorando N° 000065-2019/DGM/VMPCIC/MC del 16 de enero de 2019, la Dirección General de Museos remitió el Informe N° 000002-2019-MGL/DRBM/DGM/VMPCIC/MC del 04 de enero de 2019, de la Dirección de Gestión, Registro y Catalogación de Bienes Culturales Muebles, por los cuales se advierte que la cantidad correcta a exportar era ciento cincuenta y cuatro (154) muestras, emitiendo opinión favorable para el otorgamiento de la autorización de exportación de dichas muestras arqueológicas para los análisis solicitado;

Que, mediante Memorando N° 000064-2019/DGPA/VMPCIC/MC del 18 de enero de 2019, la Dirección General de Patrimonio Arqueológico Inmueble remitió el Informe N° 000011-2019-EBC/DCIA/DGPA/VMPCIC/MC del 17 de enero de 2019, de la Dirección de Calificación de Intervenciones Arqueológicas, por los cuales se emite opinión favorable para el otorgamiento de la autorización de exportación de ciento cincuenta y cuatro (154) muestras arqueológicas para los análisis solicitados;

Que, en mérito a la Resolución Ministerial N° 562-2018-MC, se resolvió delegar en el Viceministro de Patrimonio Cultural e Industrias Culturales, durante el Ejercicio Fiscal 2019, la facultad de autorizar la exportación de muestras arqueológicas, fragmentos o restos a que se refiere el artículo 59 del Reglamento de la Ley N° 28296, aprobado mediante Decreto Supremo N° 011-2006-ED;






# Resolución Viceministerial

**Nro. 009-2019-VMPCIC-MC**


Que, en consecuencia, al verificarse el cumplimiento de los requisitos establecidos en los artículos 91 y 92 del Reglamento de Intervenciones Arqueológicas, aprobado mediante Decreto Supremo N° 003-2014-MC, corresponde autorizar la solicitud de exportación de muestras arqueológicas con fines científicos solicitada;

De conformidad con lo dispuesto en la Ley N° 29565, Ley de creación del Ministerio de Cultura; en la Ley N° 28296, Ley General del Patrimonio Cultural de la Nación; en el Reglamento de la Ley N° 28296, aprobado por Decreto Supremo N° 011-2006-ED; en el Reglamento de Intervenciones Arqueológicas, aprobado por Decreto Supremo N° 003-2014-MC; en el Reglamento de Organización y Funciones del Ministerio de Cultura, aprobado por Decreto Supremo N° 005-2013-MC; y en la Resolución Ministerial N° 562-2018-MC;


## SE RESUELVE:



**Artículo 1.-** Autorizar la exportación de ciento cincuenta y cuatro (154) muestras arqueológicas con fines científicos de carácter destructivo, procedentes del "Programa Integral de Intervención Arqueológica en el Santuario Histórico Bosque de Pómac (PIAP) Temporada 2010", "Proyecto Arqueológico Sicán 2014" y "Proyecto Arqueológico Sicán 2018", para que sean sometidas a análisis instrumental de activación con neutrones (INAA) en el Laboratorio de Arqueometría del centro de Investigación del reactor Nuclear de la Universidad de Missouri (MURR University of Missouri Research Reactor Center) en la ciudad de Columbia, estado de Missouri, Estados Unidos de América, análisis por los métodos de microsonda electrónica de barrido (EPMA) y fluorescencia de rayos X (XRF) en el Laboratorio de Arqueometalurgia, del Instituto de Arqueología de la Universidad de Londres. Institute of Archaeology, en la ciudad de Londres, Inglaterra, así como análisis de Datación radio carbónica por el método de espectrometría de masas con acelerador (AMS) en el Laboratorio Direct AMS, en la ciudad de Bothell, estado de Washington, Estados Unidos de América, conforme se describe en el anexo que forma parte integrante de la presente Resolución Viceministerial.



**Artículo 2.-** Retirar la condición de bienes integrantes del Patrimonio Cultural de la Nación a las ciento cincuenta y cuatro (154) muestras arqueológicas, cuya exportación se autoriza por medio de la presente Resolución Viceministerial.



**Artículo 3.-** Autorizar al señor Izumi Shimada, de nacionalidad japonesa, identificado con Pasaporte TZ 1018903, para que efectúe el traslado físico de las ciento cincuenta y cuatro (154) muestras arqueológicas a los Estados Unidos de América e Inglaterra, siendo dicha autorización personal e intransferible.

**Artículo 4.-** Disponer que una vez finalizados los análisis y en el plazo máximo de un (01) año, el licenciado Rafael Eduardo Valdez Velasquez-López, presente un informe detallado de los resultados de los análisis realizados a las ciento cincuenta y cuatro (154) muestras arqueológicas, a la Dirección General Patrimonio Arqueológico

Inmueble, la cual deberá gestionar su publicación en el Portal Institucional del Ministerio de Cultura.



**Artículo 5.-** Notificar la presente Resolución Viceministerial al Rafael Eduardo Valdez Velasquez-López, para los fines pertinentes.

**Regístrese y comuníquese.**



*Guillermo Cortés*

LUIS GUILLERMO CORTÉS CARCELÉN  
Viceministro de Patrimonio Cultural e Industrias Culturales

## LISTADO DE MUESTRAS A EXPORTAR

N°	Material	# Registro	Contexto	Peso bruto gr.	Análisis	Laboratorio
1	Carbón de madera	C-19	Dentro del horno grande para la labranza de metal, Huaca Loro, Sector NE, Unidad de Excavación E-17, Superficie de Ocupación 6, Rasgo 62.	12.1	C14 AMS	Direct AMS EE.UU
2	Carbón de madera	C-21	Dentro del horno más grande para la labranza de metal, Huaca Loro, Sector NE, Unidad de Excavación F-17 Extensión Este, Superficie de Ocupación 4, Rasgo 59	17.8	C14 AMS	Direct AMS EE.UU
3	Carbón de madera	C-26	Pequeña área quemada en un superficie de ocupación profunda cerca del base SE de la plataforma inferior, Huaca Lercanlech, Sector SE, Unidad de Excavación T-3A, Nivel del Superficie de Ocupación 11	4.4	C14 AMS	Direct AMS EE.UU
4	Carbón de madera	C-27	Área quemada en un superficie de ocupación sobre una plataforma, Huaca Lercanlech, Sector SE, Unidad de Excavación T-12, Nivel del Superficie de Ocupación 4	9.1	C14 AMS	Direct AMS EE.UU
5	Carbón de madera	C-28	Área quemada en el último superficie de ocupación, Huaca Lercanlech, Sector SE, Unidad de excavación T-12, Nivel del Superficie de Ocupación 1	13.2	C14 AMS	Direct AMS EE.UU
6	Carbón de madera	C-29	Del superficie de ocupación quemada, Huaca Lercanlech, Sector SE, Unidad de Excavación T-12, Nivel del Superficie de Ocupación 4	23.3	C14 AMS	Direct AMS EE.UU
7	Carbón de madera	C-31	Fogón (Rasgo 25Le) en Superficie de Ocupación 6, Trinchera 1N-Extensión Norte, Sector SE de Huaca Lercanlech	6.7	C14 AMS	Direct AMS EE.UU
8	Carbón de madera	C-33	Poste quemado, Superficie de Ocupación 3, Trinchera 12, Sector SE de Huaca Lercanlech	13.5	C14 AMS	Direct AMS EE.UU
	Carbón de madera	C-34	Una concentración de pedazos de carbón asociada con una fosa alargada sin esqueleto, Huaca Loro, Sector NE, Unidad de Excavación E-18-SE, Rasgo 79A	12.3	C14 AMS	Direct AMS EE.UU
10	Cerámica	CE-68A	Un fragmento de vasija marrón decorada; T-1N Extensión Este, entre Superficie de Ocupación (S.O.) 2 y 3, Sector SE, Huaca Lercanlech	11	Composición de elementos químicos, Análisis instrumental de activación con neutrones INAA)	Laboratorio de Arqueometría del Centro de Investigación del Reactor Nuclear de la Universidad de Missouri, EE.UU
11	Cerámica	CE-68B	Un fragmento de vasija negra; T-1N Extensión Este, entre Superficie de Ocupación (S.O.) 2 y 3, Sector SE, Huaca Lercanlech	8.4	Composición de elementos químicos, Análisis instrumental de activación con neutrones INAA)	Laboratorio de Arqueometría del Centro de Investigación del Reactor Nuclear de la Universidad de Missouri, EE.UU
12	Cerámica	CE-68C	Un fragmento del base pedestal de botella marrón; T-1N Extensión Este, entre Superficie de Ocupación (S.O.) 2 y 3, Sector SE, Huaca Lercanlech	8.8	Composición de elementos químicos, Análisis instrumental de activación con neutrones INAA)	Laboratorio de Arqueometría del Centro de Investigación del Reactor Nuclear de la Universidad de Missouri, EE.UU
13	Cerámica	CE-68D	Un fragmento de cuenco marrón; T-1N Extensión Este, entre Superficie de Ocupación (S.O.) 2 y 3, Sector SE, Huaca Lercanlech	11.1	Composición de elementos químicos, Análisis instrumental de activación con neutrones INAA)	Laboratorio de Arqueometría del Centro de Investigación del Reactor Nuclear de la Universidad de Missouri, EE.UU
14	Cerámica	CE-68E	Un fragmento de vasija paletaada negra; T-1N Extensión Este, entre Superficie de Ocupación (S.O.) 2 y 3, Sector SE, Huaca Lercanlech	6.8	Composición de elementos químicos, Análisis instrumental de activación con neutrones INAA)	Laboratorio de Arqueometría del Centro de Investigación del Reactor Nuclear de la Universidad de Missouri, EE.UU

15	Cerámica	CE-73	Un fragmento de olla marrón; T-1N Extensión Este, entre Superficie de Ocupación (S.O.) 4 y 5, Sector SE, Huaca Lercanlech	15.1	Composición de elementos químicos, Análisis instrumental de activación con neutrones INAA)	Laboratorio de Arqueometría del Centro de Investigación del Reactor Nuclear de la Universidad de Missouri, EE.UU
16	Cerámica	CE-74A	Un fragmento del pico de botella marrón; T-1N Extensión Este, entre Superficie de Ocupación (S.O.) 3 y 4, Sector SE, Huaca Lercanlech	8.4	Composición de elementos químicos, Análisis instrumental de activación con neutrones INAA)	Laboratorio de Arqueometría del Centro de Investigación del Reactor Nuclear de la Universidad de Missouri, EE.UU
17	Cerámica	CE-74B	Un fragmento del cuerpo de botella negra; T-1N Extensión Este, entre Superficie de Ocupación (S.O.) 3 y 4, Sector SE, Huaca Lercanlech	10.8	Composición de elementos químicos, Análisis instrumental de activación con neutrones INAA)	Laboratorio de Arqueometría del Centro de Investigación del Reactor Nuclear de la Universidad de Missouri, EE.UU
18	Cerámica	CE-74C	Un fragmento de cuenco negro; T-1N Extensión Este, entre Superficie de Ocupación (S.O.) 3 y 4, Sector SE, Huaca Lercanlech	15.1	Composición de elementos químicos, Análisis instrumental de activación con neutrones INAA)	Laboratorio de Arqueometría del Centro de Investigación del Reactor Nuclear de la Universidad de Missouri, EE.UU
19	Cerámica	CE-76A	Un fragmento de vajilla negra; T-1N, debajo de Ocupación 5, Sector SE, Huaca Lercanlech	15.5	Composición de elementos químicos, Análisis instrumental de activación con neutrones INAA)	Laboratorio de Arqueometría del Centro de Investigación del Reactor Nuclear de la Universidad de Missouri, EE.UU
20	Cerámica	CE-76B	Un fragmento de cuenco marrón; T-1N, debajo de Ocupación 5, Sector SE, Huaca Lercanlech	16.6	Composición de elementos químicos, Análisis instrumental de activación con neutrones INAA)	Laboratorio de Arqueometría del Centro de Investigación del Reactor Nuclear de la Universidad de Missouri, EE.UU
21	Cerámica	CE-146	Un fragmento del cuerpo de cántaro pintado marrón; Rasgo LE-14, S.O. 3, T-9, Sector SE, Huaca Lercanlech	12.5	Composición de elementos químicos, Análisis instrumental de activación con neutrones INAA)	Laboratorio de Arqueometría del Centro de Investigación del Reactor Nuclear de la Universidad de Missouri, EE.UU
22	Cerámica	CE-147A	Un fragmento del base de botella negra; debajo de S.O. 3, T-9, Sector SE, Huaca Lercanlech	10	Composición de elementos químicos, Análisis instrumental de activación con neutrones INAA)	Laboratorio de Arqueometría del Centro de Investigación del Reactor Nuclear de la Universidad de Missouri, EE.UU
23	Cerámica	CE-147B	Un fragmento del cuenco marrón pintado; debajo de S.O. 3, T-9, Sector SE, Huaca Lercanlech	16.8	Composición de elementos químicos, Análisis instrumental de activación con neutrones INAA)	Laboratorio de Arqueometría del Centro de Investigación del Reactor Nuclear de la Universidad de Missouri, EE.UU
24	Cerámica	CE-150	Un fragmento del base de botella negra; S.O. 3, T-11, Sector SE, Huaca Lercanlech	9.9	Composición de elementos químicos, Análisis instrumental de activación con neutrones INAA)	Laboratorio de Arqueometría del Centro de Investigación del Reactor Nuclear de la Universidad de Missouri, EE.UU
25	Cerámica	CE-153	Un fragmento del cuenco negro; relleno entre S.O. 3 y 4, T-10, Sector SE, Huaca Lercanlech	11.5	Composición de elementos químicos, Análisis instrumental de activación con neutrones INAA)	Laboratorio de Arqueometría del Centro de Investigación del Reactor Nuclear de la Universidad de Missouri, EE.UU
26	Cerámica	CE-154A	Un fragmento del base de botella negra; relleno entre S.O. 3 y 4, T-11, Sector SE, Huaca Lercanlech	10.2	Composición de elementos químicos, Análisis instrumental de activación con neutrones INAA)	Laboratorio de Arqueometría del Centro de Investigación del Reactor Nuclear de la Universidad de Missouri, EE.UU
27	Cerámica	CE-154B	Un fragmento del base de botella negra; relleno entre S.O. 3 y 4, T-11, Sector SE, Huaca Lercanlech	9.4	Composición de elementos químicos, Análisis instrumental de activación con neutrones INAA)	Laboratorio de Arqueometría del Centro de Investigación del Reactor Nuclear de la Universidad de Missouri, EE.UU
28	Cerámica	CE-154C	Un fragmento del base de botella negra; relleno entre S.O. 3 y 4, T-11, Sector SE, Huaca Lercanlech	7.4	Composición de elementos químicos, Análisis instrumental de activación con neutrones INAA)	Laboratorio de Arqueometría del Centro de Investigación del Reactor Nuclear de la Universidad de Missouri, EE.UU
29	Cerámica	CE-154D	Un fragmento del pico de botella marrón; relleno entre S.O. 3 y 4, T-11, Sector SE, Huaca Lercanlech	6.9	Composición de elementos químicos, Análisis instrumental de activación con neutrones INAA)	Laboratorio de Arqueometría del Centro de Investigación del Reactor Nuclear de la Universidad de Missouri, EE.UU



30	Cerámica	CE-154E	Un fragmento del pico de botella marrón; relleno entre S.O. 3 y 4, T-11, Sector SE, Huaca Lercanlech	6.2	Composición de elementos químicos, Análisis instrumental de activación con neutrones INAA)	Laboratorio de Arqueometría del Centro de Investigación del Reactor Nuclear de la Universidad de Missouri, EE.UU
31	Cerámica	CE-154F	Un fragmento del base de botella negra; relleno entre S.O. 3 y 4, T-11, Sector SE, Huaca Lercanlech	7	Composición de elementos químicos, Análisis instrumental de activación con neutrones INAA)	Laboratorio de Arqueometría del Centro de Investigación del Reactor Nuclear de la Universidad de Missouri, EE.UU
32	Cerámica	CE-155A	Un fragmento del base de botella negra; relleno debajo S.O. 3, T-10, Sector SE, Huaca Lercanlech	9.1	Composición de elementos químicos, Análisis instrumental de activación con neutrones INAA)	Laboratorio de Arqueometría del Centro de Investigación del Reactor Nuclear de la Universidad de Missouri, EE.UU
33	Cerámica	CE-155B	Un fragmento del base de botella negra; relleno debajo S.O. 3, T-10, Sector SE, Huaca Lercanlech	11.8	Composición de elementos químicos, Análisis instrumental de activación con neutrones INAA)	Laboratorio de Arqueometría del Centro de Investigación del Reactor Nuclear de la Universidad de Missouri, EE.UU
34	Cerámica	CE-156A	Un fragmento del cuerpo de cántaro marrón decorado; relleno debajo S.O. 4, T-11, Sector SE, Huaca Lercanlech	10.4	Composición de elementos químicos, Análisis instrumental de activación con neutrones INAA)	Laboratorio de Arqueometría del Centro de Investigación del Reactor Nuclear de la Universidad de Missouri, EE.UU
35	Cerámica	CE-156B	Un fragmento del cuello de jara marrón; relleno debajo S.O. 4, T-11, Sector SE, Huaca Lercanlech	15.5	Composición de elementos químicos, Análisis instrumental de activación con neutrones INAA)	Laboratorio de Arqueometría del Centro de Investigación del Reactor Nuclear de la Universidad de Missouri, EE.UU
36	Cerámica	CE-156C	Un fragmento del base de botella negra; relleno debajo S.O. 4, T-11, Sector SE, Huaca Lercanlech	10.1	Composición de elementos químicos, Análisis instrumental de activación con neutrones INAA)	Laboratorio de Arqueometría del Centro de Investigación del Reactor Nuclear de la Universidad de Missouri, EE.UU
37	Cerámica	CE-157	Un fragmento del cuerpo de cántaro negro decorado; relleno debajo S.O. 3, T-10, Sector SE, Huaca Lercanlech	8.2	Composición de elementos químicos, Análisis instrumental de activación con neutrones INAA)	Laboratorio de Arqueometría del Centro de Investigación del Reactor Nuclear de la Universidad de Missouri, EE.UU
38	Cerámica	CE-162A	Un fragmento del base de plato negro; relleno debajo de S.O. 3, T-10, Sector SE, Huaca Lercanlech	9.8	Composición de elementos químicos, Análisis instrumental de activación con neutrones INAA)	Laboratorio de Arqueometría del Centro de Investigación del Reactor Nuclear de la Universidad de Missouri, EE.UU
39	Cerámica	CE-162B	Un fragmento del cuello de cántaro marrón; relleno debajo S.O. 3, T-10, Sector SE, Huaca Lercanlech	12.6	Composición de elementos químicos, Análisis instrumental de activación con neutrones INAA)	Laboratorio de Arqueometría del Centro de Investigación del Reactor Nuclear de la Universidad de Missouri, EE.UU
40	Cerámica	CE-164	Un fragmento del pico de botella negra; relleno debajo S.O. 3, T-10 Parte central, Sector SE, Huaca Lercanlech	11.6	Composición de elementos químicos, Análisis instrumental de activación con neutrones INAA)	Laboratorio de Arqueometría del Centro de Investigación del Reactor Nuclear de la Universidad de Missouri, EE.UU
41	Cerámica	CE-165A	Un fragmento del cuello de jara marrón; S.O. 4, T-1N, Extensión NE, Sector SE, Huaca Lercanlech	8.4	Composición de elementos químicos, Análisis instrumental de activación con neutrones INAA)	Laboratorio de Arqueometría del Centro de Investigación del Reactor Nuclear de la Universidad de Missouri, EE.UU
42	Cerámica	CE-165B	Un fragmento del cuello de cántaro marrón; S.O. 4, T-1N, Extensión NE, Sector SE, Huaca Lercanlech	7.9	Composición de elementos químicos, Análisis instrumental de activación con neutrones INAA)	Laboratorio de Arqueometría del Centro de Investigación del Reactor Nuclear de la Universidad de Missouri, EE.UU
43	Cerámica	CE-170A	Un fragmento del cuerpo de cántaro negro; Relleno sobre S.O. 4, T-12, Sector SE, Huaca Lercanlech	9.2	Composición de elementos químicos, Análisis instrumental de activación con neutrones INAA)	Laboratorio de Arqueometría del Centro de Investigación del Reactor Nuclear de la Universidad de Missouri, EE.UU
44	Cerámica	CE-170B	Un fragmento del cuerpo de cántaro negro decorado; Relleno sobre S.O. 4, T-12, Sector SE, Huaca Lercanlech	9.1	Composición de elementos químicos, Análisis instrumental de activación con neutrones INAA)	Laboratorio de Arqueometría del Centro de Investigación del Reactor Nuclear de la Universidad de Missouri, EE.UU



45	Cerámica	CE-171A	Un fragmento del cuenco marrón pintado; Relleno sobre S.O. 6,, T-1N Ext. NE, Sector SE, Huaca Lercanlech	9	Composición de elementos químicos, Análisis instrumental de activación con neutrones INAA)	Laboratorio de Arqueometría del Centro de Investigación del Reactor Nuclear de la Universidad de Missouri, EE.UU
46	Cerámica	CE-171B	Un fragmento del base de botella negra; Relleno sobre S.O. 6,, T-1N Ext. NE, Sector SE, Huaca Lercanlech	7.2	Composición de elementos químicos, Análisis instrumental de activación con neutrones INAA)	Laboratorio de Arqueometría del Centro de Investigación del Reactor Nuclear de la Universidad de Missouri, EE.UU
47	Cerámica	CE-171C	Un fragmento del cuerpo de jara marrón; Relleno sobre S.O. 6,, T-1N Ext. NE, Sector SE, Huaca Lercanlech	5	Composición de elementos químicos, Análisis instrumental de activación con neutrones INAA)	Laboratorio de Arqueometría del Centro de Investigación del Reactor Nuclear de la Universidad de Missouri, EE.UU
48	Cerámica	CE-174	Un fragmento del cuerpo de cántaro pintado; S.O. 5, T-1N Ext. NE, Sector SE, Huaca Lercanlech	7.9	Composición de elementos químicos, Análisis instrumental de activación con neutrones INAA)	Laboratorio de Arqueometría del Centro de Investigación del Reactor Nuclear de la Universidad de Missouri, EE.UU
49	Cerámica	CE-179A	Un fragmento del cuenco negro; S.O. 5, T-1N Ext. NE, Sector SE, Huaca Lercanlech	8.3	Composición de elementos químicos, Análisis instrumental de activación con neutrones INAA)	Laboratorio de Arqueometría del Centro de Investigación del Reactor Nuclear de la Universidad de Missouri, EE.UU
50	Cerámica	CE-179B	Un fragmento del cuenco pintado; S.O. 5, T-1N Ext. NE, Sector SE, Huaca Lercanlech	9.4	Composición de elementos químicos, Análisis instrumental de activación con neutrones INAA)	Laboratorio de Arqueometría del Centro de Investigación del Reactor Nuclear de la Universidad de Missouri, EE.UU
51	Cerámica	CE-182A	Un fragmento del cuerpo de cántaro decorado; Abajo de S.O. 6, T-1N Ext. N, Sector SE, Huaca Lercanlech	5.4	Composición de elementos químicos, Análisis instrumental de activación con neutrones INAA)	Laboratorio de Arqueometría del Centro de Investigación del Reactor Nuclear de la Universidad de Missouri, EE.UU
52	Cerámica	CE-182B	Un fragmento del cuello de jara marrón; Abajo de S.O. 6, T-1N Ext. N, Sector SE, Huaca Lercanlech	6.6	Composición de elementos químicos, Análisis instrumental de activación con neutrones INAA)	Laboratorio de Arqueometría del Centro de Investigación del Reactor Nuclear de la Universidad de Missouri, EE.UU
53	Cerámica	CE-183A	Un fragmento del pico de botella negra decorado; Debajo de S.O. 6, T-1N Ext. NE, Sector SE, Huaca Lercanlech	10	Composición de elementos químicos, Análisis instrumental de activación con neutrones INAA)	Laboratorio de Arqueometría del Centro de Investigación del Reactor Nuclear de la Universidad de Missouri, EE.UU
54	Cerámica	CE-183B	Un fragmento del cuenco negro; Debajo de S.O. 6, T-1N Ext. NE, Sector SE, Huaca Lercanlech	15.5	Composición de elementos químicos, Análisis instrumental de activación con neutrones INAA)	Laboratorio de Arqueometría del Centro de Investigación del Reactor Nuclear de la Universidad de Missouri, EE.UU
55	Cerámica	CE-184A	Un fragmento del cuerpo de botella negra; Debajo de S.O. 7, T-12, Sector SE, Huaca Lercanlech	6.2	Composición de elementos químicos, Análisis instrumental de activación con neutrones INAA)	Laboratorio de Arqueometría del Centro de Investigación del Reactor Nuclear de la Universidad de Missouri, EE.UU
56	Cerámica	CE-184B	Un fragmento del cuenco marrón decorado; Debajo de S.O. 7, T-12, Sector SE, Huaca Lercanlech	9.8	Composición de elementos químicos, Análisis instrumental de activación con neutrones INAA)	Laboratorio de Arqueometría del Centro de Investigación del Reactor Nuclear de la Universidad de Missouri, EE.UU
57	Cerámica	CE-186	Un fragmento de la asa puente de botella negra; Debajo de S.O. 7, T-12, Sector SE, Huaca Lercanlech	13.5	Composición de elementos químicos, Análisis instrumental de activación con neutrones INAA)	Laboratorio de Arqueometría del Centro de Investigación del Reactor Nuclear de la Universidad de Missouri, EE.UU
58	Cerámica	CE-187	Un fragmento del base pedestal de botella marrón; Entre S.O. 7 y 8, T-12, Sector SE, Huaca Lercanlech	14.4	Composición de elementos químicos, Análisis instrumental de activación con neutrones INAA)	Laboratorio de Arqueometría del Centro de Investigación del Reactor Nuclear de la Universidad de Missouri, EE.UU
59	Cerámica	CE-188	Un fragmento del cuello de botella negra?; Entre S.O. 6 y 7, T-1N, Ext. NE, Sector SE, Huaca Lercanlech	10.9	Composición de elementos químicos, Análisis instrumental de activación con neutrones INAA)	Laboratorio de Arqueometría del Centro de Investigación del Reactor Nuclear de la Universidad de Missouri, EE.UU





60	Cerámica	CE-189	Un fragmento del cuerpo de cántaro negro?; Entre S.O. 8 y 9, T-12, Sector SE, Huaca Lercanlech	10.1	Composición de elementos químicos, Análisis instrumental de activación con neutrones INAA)	Laboratorio de Arqueometría del Centro de Investigación del Reactor Nuclear de la Universidad de Missouri, EE.UU
61	Cerámica	CE-191A	Un fragmento del borde de cuenco de negro; Entre S.O. 7 y 8, T-12, Sector SE, Huaca Lercanlech	9.5	Composición de elementos químicos, Análisis instrumental de activación con neutrones INAA)	Laboratorio de Arqueometría del Centro de Investigación del Reactor Nuclear de la Universidad de Missouri, EE.UU
62	Cerámica	CE-191B	Un fragmento del cuerpo de cántaro pintado; Entre S.O. 7 y 8, T-12, Sector SE, Huaca Lercanlech	11.4	Composición de elementos químicos, Análisis instrumental de activación con neutrones INAA)	Laboratorio de Arqueometría del Centro de Investigación del Reactor Nuclear de la Universidad de Missouri, EE.UU
63	Cerámica	CE-7	Un fragmento de botella negra; T-1N Extensión Este, entre Superficie de Ocupación (S.O.) 11 y 12, Unidad Excavación D-16, Cuadra SO, Sector NE, Huaca Loro	7.7	Composición de elementos químicos, Análisis instrumental de activación con neutrones INAA)	Laboratorio de Arqueometría del Centro de Investigación del Reactor Nuclear de la Universidad de Missouri, EE.UU
64	Cerámica	CE-8	Un fragmento de la asa puente de botella negra; S.O. 5, Unidad de Excavación D-15, SE, Sector NE, Huaca Loro	6.9	Composición de elementos químicos, Análisis instrumental de activación con neutrones INAA)	Laboratorio de Arqueometría del Centro de Investigación del Reactor Nuclear de la Universidad de Missouri, EE.UU
65	Cerámica	CE-9	Un fragmento del borde de cuenco pintado; Entre S.O. 11 y 12, Unidad de Excavación D-17 NE-NO, Sector NE, Huaca Loro	11.3	Composición de elementos químicos, Análisis instrumental de activación con neutrones INAA)	Laboratorio de Arqueometría del Centro de Investigación del Reactor Nuclear de la Universidad de Missouri, EE.UU
66	Cerámica	CE-17	Un fragmento de cuerpo de botella negra; S.O. 7, Unidad de Excavación D-15 Oeste, Sector NE, Huaca Loro	6.4	Composición de elementos químicos, Análisis instrumental de activación con neutrones INAA)	Laboratorio de Arqueometría del Centro de Investigación del Reactor Nuclear de la Universidad de Missouri, EE.UU
67	Cerámica	CE-22A	Un fragmento de cuerpo de cántaro marrón pintado; S.O. 8, Unidad de Excavación D-15 SE, Sector NE, Huaca Loro	11.8	Composición de elementos químicos, Análisis instrumental de activación con neutrones INAA)	Laboratorio de Arqueometría del Centro de Investigación del Reactor Nuclear de la Universidad de Missouri, EE.UU
68	Cerámica	CE-22B	Un fragmento de cuerpo de botella negra decorado; S.O. 8, Unidad de Excavación D-15 SE, Sector NE, Huaca Loro	8.3	Composición de elementos químicos, Análisis instrumental de activación con neutrones INAA)	Laboratorio de Arqueometría del Centro de Investigación del Reactor Nuclear de la Universidad de Missouri, EE.UU
69	Cerámica	CE-23	Un fragmento de cuenco pintado; Rasgo 35, S.O. 10, Unidad de Excavación D-15 SE, Sector NE, Huaca Loro	8.5	Composición de elementos químicos, Análisis instrumental de activación con neutrones INAA)	Laboratorio de Arqueometría del Centro de Investigación del Reactor Nuclear de la Universidad de Missouri, EE.UU
70	Cerámica	CE-28	Un fragmento de cuenco negro; Rasgo 28, entre S.O. 9 y 10, Unidad de Excavación D-15 SE, Sector NE, Huaca Loro	7.8	Composición de elementos químicos, Análisis instrumental de activación con neutrones INAA)	Laboratorio de Arqueometría del Centro de Investigación del Reactor Nuclear de la Universidad de Missouri, EE.UU
71	Cerámica	CE-32A	Un fragmento del cuerpo de cántaro pintado; S.O. 9, Unidad de Excavación D-15 SO, Sector NE, Huaca Loro	6.1	Composición de elementos químicos, Análisis instrumental de activación con neutrones INAA)	Laboratorio de Arqueometría del Centro de Investigación del Reactor Nuclear de la Universidad de Missouri, EE.UU
72	Cerámica	CE-32B	Un fragmento del base de cuenco negro; S.O. 9, Unidad de Excavación D-15 SO, Sector NE, Huaca Loro	13.3	Composición de elementos químicos, Análisis instrumental de activación con neutrones INAA)	Laboratorio de Arqueometría del Centro de Investigación del Reactor Nuclear de la Universidad de Missouri, EE.UU
73	Cerámica	CE-33	Un fragmento del cuerpo de cántaro negro?; S.O. 9, Unidad de Excavación D-15 SE, Sector NE, Huaca Loro	14.1	Composición de elementos químicos, Análisis instrumental de activación con neutrones INAA)	Laboratorio de Arqueometría del Centro de Investigación del Reactor Nuclear de la Universidad de Missouri, EE.UU
74	Cerámica	CE-43A	Un fragmento de la asa puente de botella negra; Entre S.O. 10 y 11, Unidad de Excavación D-15 SE, Sector NE, Huaca Loro	14	Composición de elementos químicos, Análisis instrumental de activación con neutrones INAA)	Laboratorio de Arqueometría del Centro de Investigación del Reactor Nuclear de la Universidad de Missouri, EE.UU

75	Cerámica	CE-43B	Un fragmento del borde de cuenco negro; Entre S.O. 10 y 11, Unidad de Excavación D-15 SE, Sector NE, Huaca Loro	12.4	Composición de elementos químicos, Análisis instrumental de activación con neutrones INAA)	Laboratorio de Arqueometría del Centro de Investigación del Reactor Nuclear de la Universidad de Missouri, EE.UU
76	Cerámica	CE-67A	Un fragmento del borde de cuello de cántaro marrón; Entre S.O. 5 y 6, Unidad de Excavación E-17, Sector NE, Huaca Loro	12.4	Composición de elementos químicos, Análisis instrumental de activación con neutrones INAA)	Laboratorio de Arqueometría del Centro de Investigación del Reactor Nuclear de la Universidad de Missouri, EE.UU
77	Cerámica	CE-67B	Un fragmento del borde de cuello de cántaro marrón; Entre S.O. 5 y 6, Unidad de Excavación E-17, Sector NE, Huaca Loro	10.7	Composición de elementos químicos, Análisis instrumental de activación con neutrones INAA)	Laboratorio de Arqueometría del Centro de Investigación del Reactor Nuclear de la Universidad de Missouri, EE.UU
78	Cerámica	CE-67C	Un fragmento del borde de cuenco pintado; Entre S.O. 5 y 6, Unidad de Excavación E-17, Sector NE, Huaca Loro	12.6	Composición de elementos químicos, Análisis instrumental de activación con neutrones INAA)	Laboratorio de Arqueometría del Centro de Investigación del Reactor Nuclear de la Universidad de Missouri, EE.UU
79	Cerámica	CE-69	Un fragmento de la asa puente de botella negra; relleno entre Capas 12 y 13, D-15, Sector NE, Huaca Loro	13.8	Composición de elementos químicos, Análisis instrumental de activación con neutrones INAA)	Laboratorio de Arqueometría del Centro de Investigación del Reactor Nuclear de la Universidad de Missouri, EE.UU
80	Cerámica	CE-70A	Un fragmento de la asa puente de botella negra; relleno entre S.O. 4 y 5, E-17, Sector NE, Huaca Loro	9.6	Composición de elementos químicos, Análisis instrumental de activación con neutrones INAA)	Laboratorio de Arqueometría del Centro de Investigación del Reactor Nuclear de la Universidad de Missouri, EE.UU
81	Cerámica	CE-70B	Un fragmento del cuello de jara negra?; relleno entre S.O. 4 y 5, E-17, Sector NE, Huaca Loro	12.1	Composición de elementos químicos, Análisis instrumental de activación con neutrones INAA)	Laboratorio de Arqueometría del Centro de Investigación del Reactor Nuclear de la Universidad de Missouri, EE.UU
82	Cerámica	CE-70C	Un fragmento del cuello de jara negra?; relleno entre S.O. 4 y 5, E-17, Sector NE, Huaca Loro	7.3	Composición de elementos químicos, Análisis instrumental de activación con neutrones INAA)	Laboratorio de Arqueometría del Centro de Investigación del Reactor Nuclear de la Universidad de Missouri, EE.UU
	Cerámica	CE-70D	Un fragmento del cuerpo de cántaro decorado negro; relleno entre S.O. 4 y 5, E-17, Sector NE, Huaca Loro	14	Composición de elementos químicos, Análisis instrumental de activación con neutrones INAA)	Laboratorio de Arqueometría del Centro de Investigación del Reactor Nuclear de la Universidad de Missouri, EE.UU
84	Cerámica	CE-85	Un fragmento de la asa puente de botella negra; Rasgo 62, S.O. 6, E-17, Sector NE, Huaca Loro	17.2	Composición de elementos químicos, Análisis instrumental de activación con neutrones INAA)	Laboratorio de Arqueometría del Centro de Investigación del Reactor Nuclear de la Universidad de Missouri, EE.UU
85	Cerámica	CE-92	Un fragmento del borde de plato pintado; entre S.O. 4 y 5, E-16 N, Sector NE, Huaca Loro	10.4	Composición de elementos químicos, Análisis instrumental de activación con neutrones INAA)	Laboratorio de Arqueometría del Centro de Investigación del Reactor Nuclear de la Universidad de Missouri, EE.UU
86	Cerámica	CE-192A	Un fragmento de la asa puente de botella negra; entre S.O. 7 y 8, E-18 SO, Sector NE, Huaca Loro	11	Composición de elementos químicos, Análisis instrumental de activación con neutrones INAA)	Laboratorio de Arqueometría del Centro de Investigación del Reactor Nuclear de la Universidad de Missouri, EE.UU
87	Cerámica	CE-192B	Un fragmento del borde de cuenco pintado; entre S.O. 7 y 8, E-18 SO, Sector NE, Huaca Loro	10.5	Composición de elementos químicos, Análisis instrumental de activación con neutrones INAA)	Laboratorio de Arqueometría del Centro de Investigación del Reactor Nuclear de la Universidad de Missouri, EE.UU
88	Cerámica	CE-193	Un fragmento del cuerpo de cántaro marrón decorado; Rasgo 77, S.O. 8, E-18 NO, Sector NE, Huaca Loro	13.1	Composición de elementos químicos, Análisis instrumental de activación con neutrones INAA)	Laboratorio de Arqueometría del Centro de Investigación del Reactor Nuclear de la Universidad de Missouri, EE.UU
89	Cerámica	CE-194A	Un fragmento del cuerpo de cántaro marrón decorado; Rasgo 79, S.O. 8, E-18 SE, Sector NE, Huaca Loro	13.4	Composición de elementos químicos, Análisis instrumental de activación con neutrones INAA)	Laboratorio de Arqueometría del Centro de Investigación del Reactor Nuclear de la Universidad de Missouri, EE.UU



90	Cerámica	CE-194B	Un fragmento del pico de botella negra; Rasgo 79, S.O. 8, E-18 SE, Sector NE, Huaca Loro	7.7	Composición de elementos químicos, Análisis instrumental de activación con neutrones INAA)	Laboratorio de Arqueometría del Centro de Investigación del Reactor Nuclear de la Universidad de Missouri, EE.UU
91	Cerámica	CE-194C	Un fragmento del base de cuenco marrón; Rasgo 79, S.O. 8, E-18 SE, Sector NE, Huaca Loro	13.3	Composición de elementos químicos, Análisis instrumental de activación con neutrones INAA)	Laboratorio de Arqueometría del Centro de Investigación del Reactor Nuclear de la Universidad de Missouri, EE.UU
92	Cerámica	CE-194D	Un fragmento del base de cuenco marrón; Rasgo 79, S.O. 8, E-18 SE, Sector NE, Huaca Loro	11.7	Composición de elementos químicos, Análisis instrumental de activación con neutrones INAA)	Laboratorio de Arqueometría del Centro de Investigación del Reactor Nuclear de la Universidad de Missouri, EE.UU
93	Cerámica	CE-195	Un fragmento del cuello de jara negra; Rasgo 79, S.O. 8, E-18 SE, Sector NE, Huaca Loro	13.5	Composición de elementos químicos, Análisis instrumental de activación con neutrones INAA)	Laboratorio de Arqueometría del Centro de Investigación del Reactor Nuclear de la Universidad de Missouri, EE.UU
94	Restos metalúrgicos	M-0579A	Una lámina oxidada de aleación de cobre, Huaca Las Ventanas, Excavación 2; Sector: Sur: 20-30, Este 60-70.	3.5	Composición química y tecnología de la producción con Microsonda Electrónica de Barrido (EPMA) y Fluorescencia de Rayos X	Laboratorio de arqueometalurgia del Instituto de Arqueología de la Universidad de Londres Inglaterra
95	Restos metalúrgicos	M-0579B	Una lámina oxidada de aleación de cobre, Huaca Las Ventanas, Excavación 2; Sector: Sur: 100-110, Oeste: 120-130; Capa 2, Hallazgo 26.	3.8	Composición química y tecnología de la producción con Microsonda Electrónica de Barrido (EPMA) y Fluorescencia de Rayos X	Laboratorio de arqueometalurgia del Instituto de Arqueología de la Universidad de Londres Inglaterra
96	Restos metalúrgicos	M-969A	Una lámina oxidada de aleación de cobre, Huaca Las Ventanas, Excavación 2; Sector: Sur: 20-30, Este 60-70.	4.1	Composición química y tecnología de la producción con Microsonda Electrónica de Barrido (EPMA) y Fluorescencia de Rayos X	Laboratorio de arqueometalurgia del Instituto de Arqueología de la Universidad de Londres Inglaterra
97	Restos metalúrgicos	M-969B	Una lámina oxidada de aleación de cobre, Huaca Las Ventanas, Excavación 2; Sector: Sur: 20-30, Este 60-70	4.3	Composición química y tecnología de la producción con Microsonda Electrónica de Barrido (EPMA) y Fluorescencia de Rayos X	Laboratorio de arqueometalurgia del Instituto de Arqueología de la Universidad de Londres Inglaterra
98	Restos metalúrgicos	M-1234	Una lámina oxidada de aleación de cobre, Huaca Las Ventanas, Excavación 2; Sector: Sur: 10-15, Oeste:85-90; Asociación 17 (Entierro 45).	4.2	Composición química y tecnología de la producción con Microsonda Electrónica de Barrido (EPMA) y Fluorescencia de Rayos X	Laboratorio de arqueometalurgia del Instituto de Arqueología de la Universidad de Londres Inglaterra
99	Restos metalúrgicos	M-1419	Una lámina oxidada de aleación de cobre, Huaca Las Ventanas, Excavación 2; Sector: N: 11-14, Este 70-71, Capa 3.	4.1	Composición química y tecnología de la producción con Microsonda Electrónica de Barrido (EPMA) y Fluorescencia de Rayos X	Laboratorio de arqueometalurgia del Instituto de Arqueología de la Universidad de Londres Inglaterra
100	Restos metalúrgicos	M-48	Fragmento de cerámica con escoria proveniente de un crisol, Relleno debajo Superficie de Ocupación 3, T-10, Sector SE, Huaca Lercanlech	17.5	Composición química y tecnología de la producción con Microsonda Electrónica de Barrido (EPMA) y Fluorescencia de Rayos X	Laboratorio de arqueometalurgia del Instituto de Arqueología de la Universidad de Londres Inglaterra
101	Restos metalúrgicos	M-61	Pedazo de escoria metalúrgica; Huaca Lercanlech, Sector SE, T-3C; Superficie de Ocupación 2, Rasgo 2	5.5	Composición química y tecnología de la producción con Microsonda Electrónica de Barrido (EPMA) y Fluorescencia de Rayos X	Laboratorio de arqueometalurgia del Instituto de Arqueología de la Universidad de Londres Inglaterra
102	Restos metalúrgicos	M-73	Un trozo de cobre - una parte de un pequeño lingote? Entre Superficie de Ocupación 5 y 6, T-3B, Sector SE, Huaca Lercanlech	8.2	Composición química y tecnología de la producción con Microsonda Electrónica de Barrido (EPMA) y Fluorescencia de Rayos X	Laboratorio de arqueometalurgia del Instituto de Arqueología de la Universidad de Londres Inglaterra
103	Restos metalúrgicos	M-78	Fragmento de lámina de cobre arsenical(?); Entre Superficie de Ocupación 3 y 4; T-11, Sector SE, Huaca Lercanlech	4.7	Composición química y tecnología de la producción con Microsonda Electrónica de Barrido (EPMA) y Fluorescencia de Rayos X	Laboratorio de arqueometalurgia del Instituto de Arqueología de la Universidad de Londres Inglaterra



104	Restos metalúrgicos	M-80	Fragmento de cerámica con escoria proveniente de un crisol; Entre Superficie de Ocupación 3 y 4; T-10, Sector SE, Huaca Lercanlech	5.7	Composición química y tecnología de la producción con Microsonda Electrónica de Barrido (EPMA) y Fluorescencia de Rayos X	Laboratorio de arqueometalurgia del Instituto de Arqueología de la Universidad de Londres Inglaterra
105	Restos metalúrgicos	M-82	Fragmento de cerámica con escoria proveniente de un crisol; relleno debajo de Superficie de Ocupación 3, T-10 Sector SE, Huaca Lercanlech	45.4	Composición química y tecnología de la producción con Microsonda Electrónica de Barrido (EPMA) y Fluorescencia de Rayos X	Laboratorio de arqueometalurgia del Instituto de Arqueología de la Universidad de Londres Inglaterra
106	Restos metalúrgicos	M-83A	Fragmento de lámina de cobre arsenical(?); Entre Superficie de Ocupación 3 y 4; T-12, Sector SE, Huaca Lercanlech	4.6	Composición química y tecnología de la producción con Microsonda Electrónica de Barrido (EPMA) y Fluorescencia de Rayos X	Laboratorio de arqueometalurgia del Instituto de Arqueología de la Universidad de Londres Inglaterra
107	Restos metalúrgicos	M-83B	Fragmento de cerámica con escoria proveniente de un crisol; Entre Superficie de Ocupación 3 y 4, T-12, Sector SE, Huaca Lercanlech	16.1	Composición química y tecnología de la producción con Microsonda Electrónica de Barrido (EPMA) y Fluorescencia de Rayos X	Laboratorio de arqueometalurgia del Instituto de Arqueología de la Universidad de Londres Inglaterra
108	Restos metalúrgicos	M-86A	Fragmento de cerámica con escoria proveniente de un crisol; Relleno sobre Superficie de Ocupación 4, T-12, Sector SE, Huaca Lercanlech	23.8	Composición química y tecnología de la producción con Microsonda Electrónica de Barrido (EPMA) y Fluorescencia de Rayos X	Laboratorio de arqueometalurgia del Instituto de Arqueología de la Universidad de Londres Inglaterra
109	Restos metalúrgicos	M-86B	Fragmento de lámina de cobre doblada, Relleno sobre Superficie de Ocupación 4, T-12, Sector SE, Huaca Lercanlech	4.6	Composición química y tecnología de la producción con Microsonda Electrónica de Barrido (EPMA) y Fluorescencia de Rayos X	Laboratorio de arqueometalurgia del Instituto de Arqueología de la Universidad de Londres Inglaterra
	Restos metalúrgicos	M-90	Fragmento de cerámica con escoria proveniente de un crisol; Relleno debajo de Superficie de Ocupación 7, T-12, Sector SE, Huaca Lercanlech	22.2	Composición química y tecnología de la producción con Microsonda Electrónica de Barrido (EPMA) y Fluorescencia de Rayos X	Laboratorio de arqueometalurgia del Instituto de Arqueología de la Universidad de Londres Inglaterra
111	Restos metalúrgicos	OE-6A	Fragmento de lámina de cobre arsenical(?) - una parte de un objeto como "pluma de metal"? Capa 2 (aluvial), T-1N, Sector SE, Huaca Lercanlech	4.5	Composición química y tecnología de la producción con Microsonda Electrónica de Barrido (EPMA) y Fluorescencia de Rayos X	Laboratorio de arqueometalurgia del Instituto de Arqueología de la Universidad de Londres Inglaterra
	Restos metalúrgicos	OE-6B	Fragmento de lámina de cobre arsenical(?) - una parte de un objeto como "pluma de metal"? Capa 2 (aluvial), T-1N, Sector SE, Huaca Lercanlech	5.7	Composición química y tecnología de la producción con Microsonda Electrónica de Barrido (EPMA) y Fluorescencia de Rayos X	Laboratorio de arqueometalurgia del Instituto de Arqueología de la Universidad de Londres Inglaterra
113	Restos metalúrgicos	M-1	Fragmento de cerámica con escoria proveniente de un plato (crisol), Capa 1, Trincheras 1, Sector NE, Huaca Loro, Temporada 2014	21.4	Composición química y tecnología de la producción con Microsonda Electrónica de Barrido (EPMA) y Fluorescencia de Rayos X	Laboratorio de arqueometalurgia del Instituto de Arqueología de la Universidad de Londres Inglaterra
114	Restos metalúrgicos	M-9	Una tira de una lámina delgada de metal envuelta (oxidada). Relleno entre Superficie de Ocupación 5 y 6, Trincheras 2, Sector NE de Huaca Loro, Temporada 2014	7	Composición química y tecnología de la producción con Microsonda Electrónica de Barrido (EPMA) y Fluorescencia de Rayos X	Laboratorio de arqueometalurgia del Instituto de Arqueología de la Universidad de Londres Inglaterra
115	Restos metalúrgicos	M-17A	Fragmento de cerámica con escoria proveniente de un crisol; relleno entre Superficie de Ocupación 5 y 6, Trincheras 2, Sector NE de Huaca Loro, Temporada 2014	12.2	Composición química y tecnología de la producción con Microsonda Electrónica de Barrido (EPMA) y Fluorescencia de Rayos X	Laboratorio de arqueometalurgia del Instituto de Arqueología de la Universidad de Londres Inglaterra
116	Restos metalúrgicos	M-17B	Fragmento de cerámica con escoria proveniente de un crisol; relleno entre Superficie de Ocupación 5 y 6, Trincheras 2, Sector NE de Huaca Loro, Temporada 2014	9.5	Composición química y tecnología de la producción con Microsonda Electrónica de Barrido (EPMA) y Fluorescencia de Rayos X	Laboratorio de arqueometalurgia del Instituto de Arqueología de la Universidad de Londres Inglaterra
117	Restos metalúrgicos	M-22	Fragmento de cerámica con escoria, probablemente de un crisol; Huaca Loro, Sector NE, Unidad de Excavación T-1, Cuadrángulo A-B, Relleno entre Superficie de Ocupación 12-13; Temporada 2014	18.1	Composición química y tecnología de la producción con Microsonda Electrónica de Barrido (EPMA) y Fluorescencia de Rayos X (XRF)	Laboratorio de arqueometalurgia del Instituto de Arqueología de la Universidad de Londres Inglaterra



118	Restos metalúrgicos	M-40	Un trozo de escoria metalúrgico, probablemente un residuo del proceso de fundición de cobre arsénico. Capa 4, T-2/3, Sector SE de Huaca Loro. Temporada 2014	15.2	Composición química y tecnología de la producción con Microsonda Electrónica de Barrido (EPMA) y Fluorescencia de Rayos X	Laboratorio de arqueometalurgia del Instituto de Arqueología de la Universidad de Londres Inglaterra
119	Restos metalúrgicos	M-53A	Fragmento de cerámica con escoria, probablemente de un crisol; Huaca Loro, Sector NE, Unidad de Excavación 5, Capa 16; Temporada 2014	14.2	Composición química y tecnología de la producción con Microsonda Electrónica de Barrido (EPMA) y Fluorescencia de Rayos X	Laboratorio de arqueometalurgia del Instituto de Arqueología de la Universidad de Londres Inglaterra
120	Restos metalúrgicos	M-53B	Fragmento de cerámica con escoria, probablemente de un crisol; Huaca Loro, Sector NE, Unidad de Excavación 5, Capa 16; Temporada 2014	7.3	Composición química y tecnología de la producción con Microsonda Electrónica de Barrido (EPMA) y Fluorescencia de Rayos X	Laboratorio de arqueometalurgia del Instituto de Arqueología de la Universidad de Londres Inglaterra
121	Restos metalúrgicos	M-53C	Fragmento de cerámica con escoria, probablemente de un crisol; Huaca Loro, Sector NE, Unidad de Excavación 5, Capa 16; Temporada 2014	12.9	Composición química y tecnología de la producción con Microsonda Electrónica de Barrido (EPMA) y Fluorescencia de Rayos X	Laboratorio de arqueometalurgia del Instituto de Arqueología de la Universidad de Londres Inglaterra
122	Restos metalúrgicos	M-53D	Fragmento de cerámica con escoria, probablemente de un crisol; Huaca Loro, Sector NE, Unidad de Excavación 5, Capa 16; Temporada 2014	15.5	Composición química y tecnología de la producción con Microsonda Electrónica de Barrido (EPMA) y Fluorescencia de Rayos X	Laboratorio de arqueometalurgia del Instituto de Arqueología de la Universidad de Londres Inglaterra
123	Restos metalúrgicos	M-53E	Fragmento de cerámica con escoria, probablemente de un crisol; Huaca Loro, Sector NE, Unidad de Excavación 5, Capa 16; Temporada 2014	10.2	Composición química y tecnología de la producción con Microsonda Electrónica de Barrido (EPMA) y Fluorescencia de Rayos X	Laboratorio de arqueometalurgia del Instituto de Arqueología de la Universidad de Londres Inglaterra
124	Restos metalúrgicos	M-72A	Un conjunto de láminas de cobre oxidadas y pegadas junto, Rasgo 40, Superficie de Ocupación 5, Unidad de Excavación D-4, Sector NE, Huaca Loro; Temporada 2014	11.4	Composición química y tecnología de la producción con Microsonda Electrónica de Barrido (EPMA) y Fluorescencia de Rayos X	Laboratorio de arqueometalurgia del Instituto de Arqueología de la Universidad de Londres Inglaterra
125	Restos metalúrgicos	M-72B	Un conjunto de láminas de cobre oxidadas y pegadas junto, Rasgo 40, Superficie de Ocupación 5, Unidad de Excavación D-4, Sector NE, Huaca Loro; Temporada 2014	13.2	Composición química y tecnología de la producción con Microsonda Electrónica de Barrido (EPMA) y Fluorescencia de Rayos X	Laboratorio de arqueometalurgia del Instituto de Arqueología de la Universidad de Londres Inglaterra
126	Restos metalúrgicos	M-72C	Un conjunto de láminas de cobre oxidadas y pegadas junto, Rasgo 40, Superficie de Ocupación 5, Unidad de Excavación D-4, Sector NE, Huaca Loro; Temporada 2014	5.7	Composición química y tecnología de la producción con Microsonda Electrónica de Barrido (EPMA) y Fluorescencia de Rayos X	Laboratorio de arqueometalurgia del Instituto de Arqueología de la Universidad de Londres Inglaterra
127	Restos metalúrgicos	M-72D	Un conjunto de láminas de cobre oxidadas y pegadas junto, Rasgo 40, Superficie de Ocupación 5, Unidad de Excavación D-4, Sector NE, Huaca Loro; Temporada 2014	5.2	Composición química y tecnología de la producción con Microsonda Electrónica de Barrido (EPMA) y Fluorescencia de Rayos X	Laboratorio de arqueometalurgia del Instituto de Arqueología de la Universidad de Londres Inglaterra
128	Restos metalúrgicos	M-72E	Un fragmento de láminas de cobre oxidadas; Rasgo 40, Superficie de Ocupación 5, Unidad de Excavación D-4, Sector NE, Huaca Loro; Temporada 2014	5.2	Composición química y tecnología de la producción con Microsonda Electrónica de Barrido (EPMA) y Fluorescencia de Rayos X	Laboratorio de arqueometalurgia del Instituto de Arqueología de la Universidad de Londres Inglaterra
129	Restos metalúrgicos	M-74A	Pedazo de escoria metalúrgica; Huaca Loro, Sector NE, Unidad de Excavación 6, Cuadrángulo 10, Capa 8; Temporada 2014	7.2	Composición química y tecnología de la producción con Microsonda Electrónica de Barrido (EPMA) y Fluorescencia de Rayos X	Laboratorio de arqueometalurgia del Instituto de Arqueología de la Universidad de Londres Inglaterra
130	Restos metalúrgicos	M-74B	Pedazo de escoria metalúrgica; Huaca Loro, Sector NE, Unidad de Excavación 6, Cuadrángulo 10, Capa 8; Temporada 2014	5.5	Composición química y tecnología de la producción con Microsonda Electrónica de Barrido (EPMA) y Fluorescencia de Rayos X	Laboratorio de arqueometalurgia del Instituto de Arqueología de la Universidad de Londres Inglaterra
131	Restos metalúrgicos	M-74C	Pedazo de escoria metalúrgica; Huaca Loro, Sector NE, Unidad de Excavación 6, Cuadrángulo 10, Capa 8; Temporada 2014	6.3	Composición química y tecnología de la producción con Microsonda Electrónica de Barrido (EPMA) y Fluorescencia de Rayos X	Laboratorio de arqueometalurgia del Instituto de Arqueología de la Universidad de Londres Inglaterra



132	Restos metalúrgicos	M-74D	Pedazo de escoria metalúrgica; Huaca Loro, Sector NE, Unidad de Excavación 6, Cuadrángulo 10, Capa 8; Temporada 2014	18.6	Composición química y tecnología de la producción con Microsonda Electrónica de Barrido (EPMA) y Fluorescencia de Rayos X	Laboratorio de arqueometalurgia del Instituto de Arqueología de la Universidad de Londres Inglaterra
133	Restos metalúrgicos	M-100	Fragmento de lámina oxidada de aleación de cobre, Superficie de Ocupación 5, Trincheras 2/3, Sector NE de Huaca Loro, Temporada 2014	8.4	Composición química y tecnología de la producción con Microsonda Electrónica de Barrido (EPMA) y Fluorescencia de Rayos X	Laboratorio de arqueometalurgia del Instituto de Arqueología de la Universidad de Londres Inglaterra
134	Restos metalúrgicos	M-118	Fragmento de lámina oxidada de aleación de cobre, Capa 3, Unidad de Excavación 4, Cuad. 21, Sector NE, Huaca Loro, Temporada 2014	5.5	Composición química y tecnología de la producción con Microsonda Electrónica de Barrido (EPMA) y Fluorescencia de Rayos X	Laboratorio de arqueometalurgia del Instituto de Arqueología de la Universidad de Londres Inglaterra
135	Restos metalúrgicos	M-120	Fragmento de lámina oxidada de aleación de cobre, Superficie de Ocupación 5, Unidad de Excavación 6, Sector NE de Huaca Loro, Temporada 2014	4.2	Composición química y tecnología de la producción con Microsonda Electrónica de Barrido (EPMA) y Fluorescencia de Rayos X	Laboratorio de arqueometalurgia del Instituto de Arqueología de la Universidad de Londres Inglaterra
136	Restos metalúrgicos	M-151A	Fragmento de lámina oxidada de aleación de cobre, Superficie de Ocupación 5, Unidad de Excavación 6, Sector NE de Huaca Loro, Temporada 2014	14.7	Composición química y tecnología de la producción con Microsonda Electrónica de Barrido (EPMA) y Fluorescencia de Rayos X	Laboratorio de arqueometalurgia del Instituto de Arqueología de la Universidad de Londres Inglaterra
137	Restos metalúrgicos	M-151B	Fragmento de lámina oxidada de aleación de cobre, Superficie de Ocupación 5, Unidad de Excavación 6, Sector NE de Huaca Loro, Temporada 2014	4.7	Composición química y tecnología de la producción con Microsonda Electrónica de Barrido (EPMA) y Fluorescencia de Rayos X	Laboratorio de arqueometalurgia del Instituto de Arqueología de la Universidad de Londres Inglaterra
138	Restos metalúrgicos	M-189	Fragmento de lámina oxidada de aleación de cobre, Superficie de Ocupación 5, Trincheras 2/3, Sector NE de Huaca Loro, Temporada 2014	4.9	Composición química y tecnología de la producción con Microsonda Electrónica de Barrido (EPMA) y Fluorescencia de Rayos X	Laboratorio de arqueometalurgia del Instituto de Arqueología de la Universidad de Londres Inglaterra
139	Restos metalúrgicos	M-6	Fragmento de cerámica con escoria, probablemente de un crisol; Huaca Loro, Sector NE, Unidad de Excavación 15, Cuadrángulo SE, Superficie de Ocupación 5	13.2	Composición química y tecnología de la producción con Microsonda Electrónica de Barrido (EPMA) y Fluorescencia de Rayos X	Laboratorio de arqueometalurgia del Instituto de Arqueología de la Universidad de Londres Inglaterra
140	Restos metalúrgicos	M-13A	Fragmento de cerámica (plato) con escoria; Huaca Loro, Sector NE, Unidad de Excavación 15 (Quad. SE), Superficie de Ocupación 5	26.1	Composición química y tecnología de la producción con Microsonda Electrónica de Barrido (EPMA) y Fluorescencia de Rayos X	Laboratorio de arqueometalurgia del Instituto de Arqueología de la Universidad de Londres Inglaterra
141	Restos metalúrgicos	M-13B	Fragmento de cerámica con escoria, probablemente de un crisol; Huaca Loro, Sector NE, Unidad de Excavación 15, Cuadrángulo SE, Superficie de Ocupación 5	30.4	Composición química y tecnología de la producción con Microsonda Electrónica de Barrido (EPMA) y Fluorescencia de Rayos X	Laboratorio de arqueometalurgia del Instituto de Arqueología de la Universidad de Londres Inglaterra
142	Restos metalúrgicos	M-35	Fragmento de cerámica con escoria, probablemente de un crisol; Huaca Loro, Sector NE, Unidad de Excavación E-17, Superficie de Ocupación 4	33.1	Composición química y tecnología de la producción con Microsonda Electrónica de Barrido (EPMA) y Fluorescencia de Rayos X	Laboratorio de arqueometalurgia del Instituto de Arqueología de la Universidad de Londres Inglaterra
143	Restos metalúrgicos	M-38	Fragmento de cerámica con escoria, probablemente de un crisol; Huaca Loro, Sector NE, Unidad de Excavación E-17, Relleno entre Superficie de Ocupación 4 y 5	30.7	Composición química y tecnología de la producción con Microsonda Electrónica de Barrido (EPMA) y Fluorescencia de Rayos X	Laboratorio de arqueometalurgia del Instituto de Arqueología de la Universidad de Londres Inglaterra
144	Restos metalúrgicos	M-46	Pedazo de escoria metalúrgica; Unidad de Excavación E-16/F-16; Rasgo 60, Superficie de Ocupación 5; Sector NE, Huaca Loro	6	Composición química y tecnología de la producción con Microsonda Electrónica de Barrido (EPMA) y Fluorescencia de Rayos X	Laboratorio de arqueometalurgia del Instituto de Arqueología de la Universidad de Londres Inglaterra
145	Restos metalúrgicos	M-47	Un Fragmento de cerámica con escoria, probablemente de un crisol; Huaca Loro, Sector NE, Unidad de Excavación F-16/E-16, Rasgo 60 Superficie de Ocupación 5	24.3	Composición química y tecnología de la producción con Microsonda Electrónica de Barrido (EPMA) y Fluorescencia de Rayos X	Laboratorio de arqueometalurgia del Instituto de Arqueología de la Universidad de Londres Inglaterra



146	Restos metalúrgicos	M-53F	Un Pedazo de escoria metalúrgica; Huaca Loro, Sector NE, Unidad de Excavación E-16 Extensión Norte; Entre Superficie de Ocupación 4 y 5	5.9	Composición química y tecnología de la producción con Microsonda Electrónica de Barrido (EPMA) y Fluorescencia de Rayos X	Laboratorio de arqueometalurgia del Instituto de Arqueología de la Universidad de Londres Inglaterra
147	Restos metalúrgicos	M-53G	Un Fragmento de cerámica con escoria proveniente de un crisol, Huaca Loro, Sector NE, Unidad de Excavación E-16 Extensión Norte; Entre Superficie de Ocupación 4 y 5	10.7	Composición química y tecnología de la producción con Microsonda Electrónica de Barrido (EPMA) y Fluorescencia de Rayos X	Laboratorio de arqueometalurgia del Instituto de Arqueología de la Universidad de Londres Inglaterra
148	Restos metalúrgicos	M-96	Un trozo de cobre arsenical? - una gota caída de la fundición? Superficie de Ocupación 7, Rasgo 75; Unidad de Excavación E18 - SE; Sector NE, Huaca Loro	5.1	Composición química y tecnología de la producción con Microsonda Electrónica de Barrido (EPMA) y Fluorescencia de Rayos X	Laboratorio de arqueometalurgia del Instituto de Arqueología de la Universidad de Londres Inglaterra
149	Restos metalúrgicos	M-98A	Un Pedazo de escoria metalúrgica; Huaca Loro, Sector NE, Unidad de Excavación F-17; Superficie de Ocupación 4, Rasgo 59	7.7	Composición química y tecnología de la producción con Microsonda Electrónica de Barrido (EPMA) y Fluorescencia de Rayos X	Laboratorio de arqueometalurgia del Instituto de Arqueología de la Universidad de Londres Inglaterra
150	Restos metalúrgicos	M-98B	Un Pedazo de escoria metalúrgica; Huaca Loro, Sector NE, Unidad de Excavación F-17; Superficie de Ocupación 4, Rasgo 59	5.6	Composición química y tecnología de la producción con Microsonda Electrónica de Barrido (EPMA) y Fluorescencia de Rayos X	Laboratorio de arqueometalurgia del Instituto de Arqueología de la Universidad de Londres Inglaterra
151	Restos metalúrgicos	M-98C	Un Pedazo de escoria metalúrgica; Superficie de Ocupación 4, Rasgo 59; Unidad de Excavación F-17; Huaca Loro, Sector NE	4.8	Composición química y tecnología de la producción con Microsonda Electrónica de Barrido (EPMA) y Fluorescencia de Rayos X	Laboratorio de arqueometalurgia del Instituto de Arqueología de la Universidad de Londres Inglaterra
152	Restos metalúrgicos	M-98D	Un Pedazo de escoria metalúrgica; Superficie de Ocupación 4, Rasgo 59; Unidad de Excavación F-17; Huaca Loro, Sector NE	84.3	Composición química y tecnología de la producción con Microsonda Electrónica de Barrido (EPMA) y Fluorescencia de Rayos X	Laboratorio de arqueometalurgia del Instituto de Arqueología de la Universidad de Londres Inglaterra
153	Restos metalúrgicos	M-111	Una Gota de cobre arsenical formada durante el proceso de refinación o fundición de un lingote; Huaca Loro, Sector NE, Unidad de Excavación 17, Superficie de Ocupación 5	6.9	Composición química y tecnología de la producción con Microsonda Electrónica de Barrido (EPMA) y Fluorescencia de Rayos X	Laboratorio de arqueometalurgia del Instituto de Arqueología de la Universidad de Londres Inglaterra
154	Restos metalúrgicos	OE-3	Un fragmento de una herramienta de cobre arsenical? Superficie de Ocupación 5, Unidad de Excavación E-17, Cuadra NE, Sector NE de Huaca Loro	4.7	Composición química y tecnología de la producción con Microsonda Electrónica de Barrido (EPMA) y Fluorescencia de Rayos X	Laboratorio de arqueometalurgia del Instituto de Arqueología de la Universidad de Londres Inglaterra

